

地中構造物の動的剛性と減衰の評価

神戸大学工学部 正員 ○高田至郎
神戸大学工学部 学生員 時政 宏

1. まえがき：前報¹⁾では、弾性波動論を用いて、地中基礎構造物の一側方に、波動を反射する境界壁を有する振動系が基盤より定常正弦波入力を受ける場合を解析し、剛性剛性と減衰の増減について検討を加えた。その際、境界壁の存在によって周辺地盤の運動が拘束されることの影響は考慮されていなかった。すなわち、Fig. 1 に示すように、 B/a が小さい場合には剛性、減衰の増分とも値は小さく、 B/a の増大とともに境界壁のない半無限地盤の時の値に収束する傾向が見られ、構造物の近傍に境界壁がある場合には応答値が大きくなることが予測される。しかし、境界壁の近くでは地盤運動が拘束されるために、応答値が小さくなる可能性もあり、波動反射の影響と運動拘束による見掛け上の地盤剛性の増加を同時に考える必要がある。本文では、境界条件を検討することによって上述の問題点の検討を試みる。また、室内模型実験によって本解析の妥当性について検討する。なお、Fig. 1 における記号のうち、 ΔEI 、 Δh は構造物の動的剛性と減衰の増分、その他については Fig. 2 に示す。

2. 解析手法：中、 ψ_0 を最初に構造物振動によって引き起こされる地盤内散乱波動の圧縮波、せん断波のポテンシャルとし、中、 ψ_0 を $\psi_0 + \psi_1$ 、 $\psi_0 + \psi_1$ によって ($\psi = -B$ における境界壁での条件を満足するポテンシャル) と考える。中、 ψ_0 のポテンシャルは半無限地盤の場合には、遠散波動としての効果をもつものであるが、本解析モデルでは、反射波動として構造物に対する入力エネルギーとなると同時に、境界近傍での地盤運動の拘束を表わすものである。Fig. 2 に示すように地盤層全体が振動することによって、強制外力項 $u_g e^{i\omega t}$ に対する地盤の相対変位は次式となる。

$$U_0 = - \sum_{m=1}^{\infty} \frac{z u_g}{\alpha m H} \left(\frac{w}{w \beta_m} \right)^2 \sin \alpha m z e^{i\omega t} \quad (1)$$

ここに、 $\beta_m^2 = (w/w_g)^2 - (zm-1)^2 (1 + i 2 \eta g w / w_g)$ である。

式(1)を積分表示することによって式(2)を得る。

$$U_0 = - \frac{4}{\pi} \frac{u_g}{\alpha m H} \left(\frac{w}{w \beta_m} \right)^2 \int_0^\infty \frac{\sin k b}{k} \cosh kx - dk \cdot \sin \alpha m z e^{i\omega t} \quad (2)$$

ただし、式(2)は $|x| < b$ で成立するものである。これより、中、 ψ_0 に対応する $\psi = -B$ での相対変位 u 、 v を直角座標系で表示すれば次式となる。

(1) 高野信彦・地中基礎構造物の動的剛性と減衰に及ぼす表面構造の影響、土木学会第4回地盤工学研究会、1976

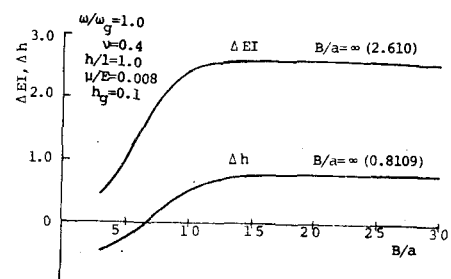


Fig. 1 Effects of B/a on ΔEI and Δh

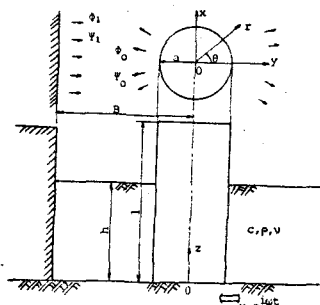


Fig. 2 Analytical Model

$$U = \sum_{m=1}^{\infty} \sin dm\theta e^{iwt} \int_0^{\infty} \left(-\frac{e^{-V_R k}}{R_m} A_m + \frac{e^{-V_L k}}{R_m} B_m \right) k \sin kx dk, \quad U = U_0 + \sum_{m=1}^{\infty} \sin dm\theta e^{iwt} \int_0^{\infty} \left(\frac{V_R e^{-V_R k}}{R_m} A_m - \frac{k^2 C_m}{V_R R_m} B_m \right) \cos kx dk \quad (3)$$

さらに、反射波動ボテンシャル、 ϕ 、 ψ による $y = -B$ での変位 U 、 \bar{U} を次式で仮定する。

$$\bar{U} = \sum_{m=1}^{\infty} \sin dm\theta e^{iwt} \int_0^{\infty} (C_m - D_m) k \sin kx dk, \quad \bar{U} = \sum_{m=1}^{\infty} \sin dm\theta e^{iwt} \int_0^{\infty} (V_R C_m - \frac{k^2}{V_R} D_m) \cos kx dk \quad (4)$$

式(3)において、 $R_m = U_R \sqrt{3_m}/V_R$ 、 $R_m = U_L \sqrt{3_m}/V_L$ 、 $V_R^2 = K^2 - R_m^2$ 、 $V_L^2 = K^2 - R_m^2$ であり、 V_R 、 V_L は地盤内の縦波、横波の速度を示す。ここで、境界壁($y = -B$)で相対変位がゼロの条件 $U + \bar{U} = 0$ 、 $U + \bar{U} = 0$ に式(3)、(4)を代入すれば、地盤運動拘束の影響を導入することができる。これより、定数 C_m 、 D_m が未知定数 A_m 、 B_m を含んだ形で決定されることになる。前報¹¹⁾での式(7)に対応するボテンシャルは次式となる。

$$\phi = \sum_{m=1}^{\infty} \left[A_m H_1^{(1)}(R_m r) + \left(A_m C_m + B_m D_m + \frac{2U_R (W_m)^2}{dm \pi} E_m \right) J_1(R_m r) \right] \sin dm\theta \sinfe^{iwt}$$

$$\psi = \sum_{m=1}^{\infty} \left[\left(A_m C_m + B_m D_m + \frac{2U_R (W_m)^2}{dm \pi} E_m \right) J_1(R_m r) + B_m H_1^{(1)}(R_m r) \right] \sin dm\theta \cos dm\theta e^{iwt} \quad (5)$$

なお、係数 $C_m \sim D_m$ は前報¹¹⁾と同一であり、 E_m 、 f_m は次式が与えられる。

$$E_m = \frac{4}{R_m \pi} \int_0^{\infty} \frac{V_R V_L e^{-V_R k}}{K^2 - V_R V_L} \frac{\sin kb}{k} dk, \quad f_m = -\frac{4i}{R_m \pi} \int_0^{\infty} \frac{K^2 e^{-V_R k}}{K^2 - V_R V_L} \frac{\sin kb}{k} dk \quad (6)$$

なお、以下の解析手法については前報¹¹⁾と同様であり、本文では省略する。また、Fig. 1 に対応する数値計算結果については講演時に述べる。

3. 室内模型実験: Fig. 3 のようなモデル化のもとに模型実験を行なった。相似律については前報¹¹⁾と同様であり、本文では省略する。また、Fig. 1 に対応する数値計算結果については講演時に述べる。

地盤材料としてはアクリルアマイト系グラウト剤(日東SS 30R, $E_s = 0.24 \text{ kg/cm}^2$, $P_s = 1.0 \text{ g/cm}^3$)、構造物材料としてはシリコンゴム($E_p = 30 \text{ kg/cm}^2$, $P_p = 1.5 \text{ g/cm}^3$)を用いた。なお反射波の影響を軽減するため、ケイ酸ソーダ(水ガラス)の緩衝帶をつくり、ゼオル無限地盤の実現を試みた。計測装置は、振動台上に加速度計を設置し、入力加速度を測定し、構造物には加振方向にひずみゲージを3点に、また頂部には加速度計を取り付け入力加速度一定の際のひずみおよび加速度の応答を測定した。実験は定常加振とし、境界壁の位置を変え、構造物および地盤の応答の相違を調べた。

Fig. 4 は、境界壁の位置を変えた際の構造物頂部の加速度応答である。その他、考察の結果は講演時に述べる。

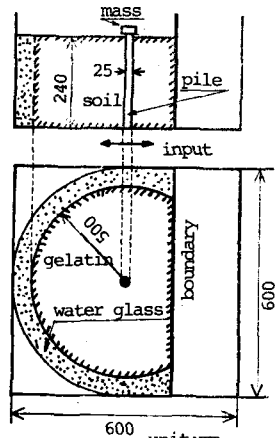


Fig. 3 Experimental model

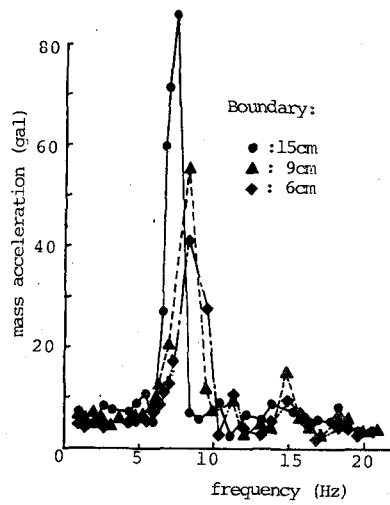


Fig. 4 Resonance curves